

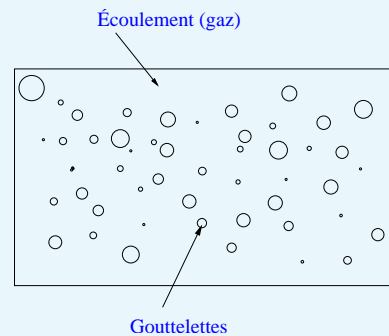


"Groupe de Travail Numérique", Orsay, 16 mars 2005.

Etude de sprays épais dans un cadre fortement collisionnel

Julien Mathiaud

mathiaud@cmla.ens-cachan.fr



Directeurs de thèse :

Benoît Desjardins (CEA/DAM/ Bruyères-le-Châtel)

Laurent Desvillettes (ENS Cachan)

Plan de l'exposé



I Présentation du modèle gaz-particules

Plan de l'exposé



I Présentation du modèle gaz-particules

II Modélisation du noyau de collision dans le cadre du CEA

Plan de l'exposé



I Présentation du modèle gaz-particules

II Modélisation du noyau de collision dans le cadre du CEA

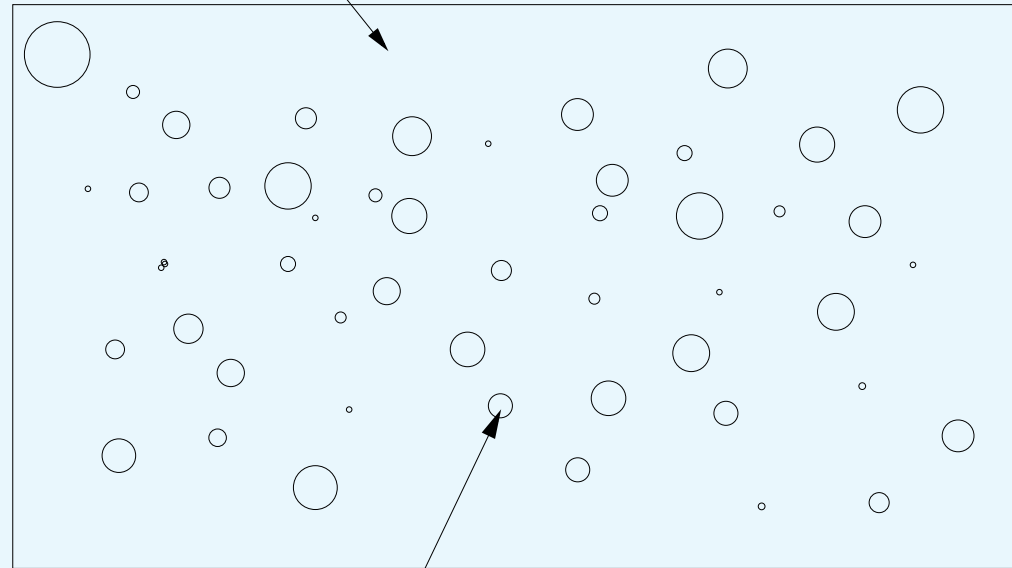
III Limite hydrodynamique dans un cadre fortement collisionnel



I Présentation du modèle gaz-particules

Les sprays = gaz avec gouttelettes en suspension

Écoulement (gaz)



Gouttelettes

Sprays : le fluide environnant

- ✓ Fluide environnant : décrit par la mécanique des fluides compressibles

Quantités **macroscopiques** (dépendant de (t, x))

- ★ densité $\rho_g(t, x)$
- ★ vitesse $u_g(t, x)$
- ★ énergie totale spécifique $E_g(t, x)$
- ★ pression $p(t, x)$

Système fluide classique

$$\begin{aligned}\partial_t \rho_g + \nabla_x \cdot (\rho_g u_g) &= 0, \\ \partial_t (\rho_g u_g) + \nabla_x \cdot (\rho_g u_g \otimes u_g) + \nabla_x p &= 0, \\ \partial_t (\rho_g E_g) + \nabla_x \cdot ((\rho_g E_g + p)u_g) &= 0, \\ p_g &= P(\rho_g, e_g)\end{aligned}$$

Sprays : la phase dispersée

- ✓ Phase dispersée (gouttelettes) : décrite par la théorie cinétique de Boltzmann

Fonction de **densité de probabilité** $f(t, x, v, \dots)$ où x position, v vitesse...

Équation cinétique

$$\partial_t f + \underbrace{\nabla_x \cdot (vf)}_{\text{terme de transport}} = \underbrace{Q(f)}_{\text{terme de collision}}$$

- ✓ on peut rajouter d'autres paramètres physiques (comme l'énergie interne e_p) dans la pdf afin d'enrichir la physique

Sprays : équation fluide-cinétique

- ✓ Un spray (fluide + phase dispersée) est décrit par un couplage **fluide-cinétique**
- ✓ Une nouvelle variable: α , fraction volumique du gaz ($\alpha(t, x)$)
- ✓ Classification des sprays

$$\partial_t(\alpha \rho_g) + \nabla_x \cdot (\alpha \rho_g u_g) = 0,$$

$$\partial_t(\alpha \rho_g u_g) + \nabla_x \cdot (\alpha \rho_g u_g \otimes u_g) + \nabla_x p = \int_{u_p, e_p} -m_p \Gamma f du_p de_p,$$

$$\partial_t f + v \cdot \nabla_x f + \nabla_v \cdot (f \Gamma) = Q(f),$$

● fins

$$\alpha = 1$$

$$m_p \Gamma = D_p(u_g - u_p)$$

$$Q(f) = 0$$

● modérément épais

$$\alpha = 1$$


$$m_p \Gamma = D_p(u_g - u_p)$$

● épais

$$\alpha = 1 - \int_{v, e_p} \frac{4}{3} \pi r_p^3 f dv de_p$$

$$m_p \Gamma = D_p(u_g - u_p) - \frac{4}{3} \pi r_p^3 \nabla_x p$$


Modélisations des échanges entre le gaz et les particules

- 
- ✓ Echange de quantité de mouvement

Γ : accélération des particules

$$\begin{aligned} m_p \Gamma &= \text{force de pression} + \text{force de traînée} \\ &= -\frac{m_p}{\rho_p} \nabla_x p - D_p (u_p - u_g) \end{aligned}$$

Modélisations des échanges entre le gaz et les particules

- 
- ✓ Echange de quantité de mouvement

Γ : accélération des particules

$$\begin{aligned} m_p \Gamma &= \text{force de pression} + \text{force de traînée} \\ &= -\frac{m_p}{\rho_p} \nabla_x p - D_p (u_p - u_g) \end{aligned}$$

- ✓ Echange de chaleur

ϕ : chaleur échangée par le gaz avec les particules

$$m_p \phi = 4\pi r_p \lambda Nu (T_g - T_p)$$

m_p , r_p : masse et rayon des particules

D_p , Nu , λ : coefficient de traînée, nombre de Nusselt, conductivité thermique

Equations du système gaz-particules

✓ Equations du gaz

$$\partial_t(\alpha\rho_g) + \nabla_x \cdot (\alpha\rho_g u_g) = 0$$

$$\partial_t(\alpha\rho_g u_g) + \nabla_x \cdot (\alpha\rho_g u_g \otimes u_g) + \nabla_x p = - \int_{u_p, e_p} m_p \Gamma f du_p de_p$$

$$\partial_t(\alpha\rho_g E_g) + \nabla_x \cdot \left(\alpha\rho_g \left(E_g + \frac{p}{\rho_g} \right) u_g \right) + p\partial_t \alpha =$$

$$\int_{u_p, e_p} - \left(m_p \Gamma + \frac{m_p}{\rho_p} \nabla_x p \right) \cdot u_p f du_p de_p - \int_{u_p, e_p} 4\pi r \lambda N u (T_g - T_p) f du_p de_p$$

Equations du système gaz-particules

✓ Equations du gaz

$$\partial_t(\alpha\rho_g) + \nabla_x \cdot (\alpha\rho_g u_g) = 0$$

$$\partial_t(\alpha\rho_g u_g) + \nabla_x \cdot (\alpha\rho_g u_g \otimes u_g) + \nabla_x p = - \int_{u_p, e_p} m_p \Gamma f du_p de_p$$

$$\partial_t(\alpha\rho_g E_g) + \nabla_x \cdot \left(\alpha\rho_g \left(E_g + \frac{p}{\rho_g} \right) u_g \right) + p\partial_t\alpha =$$

$$\int_{u_p, e_p} - \left(m_p \Gamma + \frac{m_p}{\rho_p} \nabla_x p \right) \cdot u_p f du_p de_p - \int_{u_p, e_p} 4\pi r \lambda N u (T_g - T_p) f du_p de_p$$

✓ Equation de Vlasov

$$\partial_t f + u_p \cdot \nabla_x f + \nabla_{u_p} \cdot (f\Gamma) + \partial_{e_p} (f\phi) = Q(f, f)$$

Equations du système gaz-particules

✓ Equations du gaz

$$\partial_t(\alpha\rho_g) + \nabla_x \cdot (\alpha\rho_g u_g) = 0$$

$$\partial_t(\alpha\rho_g u_g) + \nabla_x \cdot (\alpha\rho_g u_g \otimes u_g) + \nabla_x p = - \int_{u_p, e_p} m_p \Gamma f du_p de_p$$

$$\begin{aligned} \partial_t(\alpha\rho_g E_g) + \nabla_x \cdot \left(\alpha\rho_g \left(E_g + \frac{p}{\rho_g} \right) u_g \right) + p\partial_t\alpha = \\ \int_{u_p, e_p} - \left(m_p \Gamma + \frac{m_p}{\rho_p} \nabla_x p \right) \cdot u_p f du_p de_p - \int_{u_p, e_p} 4\pi r \lambda N u (T_g - T_p) f du_p de_p \end{aligned}$$

✓ Equation de Vlasov

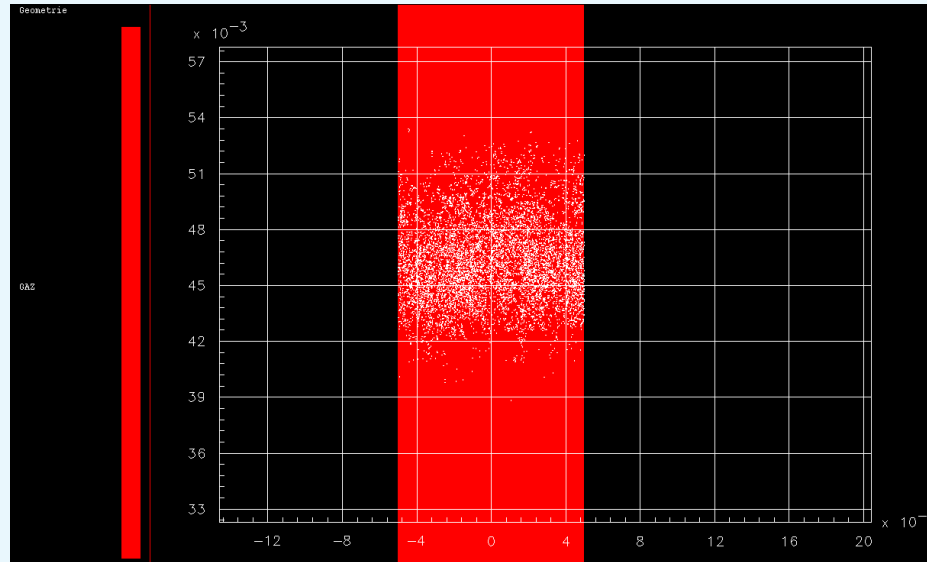
$$\partial_t f + u_p \cdot \nabla_x f + \nabla_{u_p} \cdot (f\Gamma) + \partial_{e_p} (f\phi) = Q(f, f)$$

✓ Equations d'état

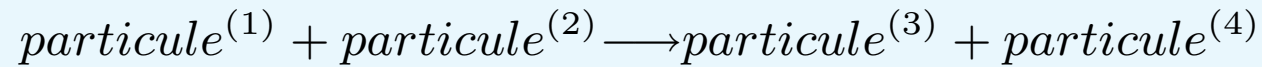
$$T_g(t, x) = T_1(\rho_g, e_g) \quad , \quad p(t, x) = P_1(\rho_g, e_g) \quad , \quad T_p = T_2(e_p)$$



II Modélisation du noyau de collision



Mécanisme de collision



Les particules sont de masse m_p , de vitesse u_{p_i} et d'énergie interne e_{p_i} .
Les collisions peuvent être inélastiques de paramètre d'inélasticité β .

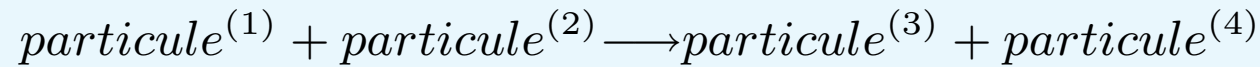
✓ ● $u_{p_3} = \frac{u_{p_1} + u_{p_2}}{2} + \beta \frac{|u_{p_1} - u_{p_2}|}{2} \sigma$: vitesse post-collisionnelle

● $u_{p_4} = \frac{u_{p_1} + u_{p_2}}{2} - \beta \frac{|u_{p_1} - u_{p_2}|}{2} \sigma$: vitesse post-collisionnelle

● $\Delta E'_c = \frac{1}{2}(u_{p_1}^2 + u_{p_2}^2 - u_{p_3}^2 - u_{p_4}^2) = \left(\frac{1 - \beta^2}{4}\right) (u_{p_1} - u_{p_2})^2 > 0$:

perte d'énergie cinétique

Mécanisme de collision



Les particules sont de masse m_p , de vitesse u_{p_i} et d'énergie interne e_{p_i} .
Les collisions peuvent être inélastiques de paramètre d'inélasticité β .

✓ ● $u_{p_3} = \frac{u_{p_1} + u_{p_2}}{2} + \beta \frac{|u_{p_1} - u_{p_2}|}{2} \sigma$: vitesse post-collisionnelle

● $u_{p_4} = \frac{u_{p_1} + u_{p_2}}{2} - \beta \frac{|u_{p_1} - u_{p_2}|}{2} \sigma$: vitesse post-collisionnelle

● $\Delta E'_c = \frac{1}{2}(u_{p_1}^2 + u_{p_2}^2 - u_{p_3}^2 - u_{p_4}^2) = \left(\frac{1 - \beta^2}{4}\right) (u_{p_1} - u_{p_2})^2 > 0$:
perte d'énergie cinétique

✓ ● $e_{p_3} = \frac{2 - a}{2} e_{p_1} + \frac{a}{2} e_{p_2} + b \Delta E'_c$: énergie interne post-collisionnelle

● $e_{p_4} = \frac{2 - a}{2} e_{p_2} + \frac{a}{2} e_{p_1} + (1 - b) \Delta E'_c$: énergie interne post-collisionnelle

a : paramètre d'échange d'énergie interne ($0 \leq a \leq 1$)

b : paramètre de transfert d'énergie cinétique en énergie interne ($0 \leq b \leq 1$)

Estimation de a



Quand deux particules collisionnent, elles restent "collées" pendant un temps de

l'ordre:
$$\Delta T_{coll} = \frac{2r_p}{|u_{p1} - u_{p2}|}$$

Durant ce temps, elles échangent $\frac{4\pi\lambda_p r_p (T_1 - T_2)}{m_p}$ en énergie par unité de masse par unité de temps (λ_p : conductivité thermique des particules).

Par ailleurs, on a (avec C : chaleur spécifique des particules),

$$\Delta(T_1 - T_2) = \frac{\Delta(e_{p1} - e_{p2})}{C}$$

D'où après intégration:
$$a = 1 - \exp\left(-\frac{8\pi\lambda_p r_p^2}{C m_p |u_{p1} - u_{p2}|}\right)$$

Dans les applications rencontrées a est de l'ordre de quelques %.

Estimation de b et β

- ✓ Le choix le plus raisonnable pour b est,

$$b = \frac{m_{p1}}{m_{p1} + m_{p2}}$$

- ✓ En utilisant le modèle TAB (Taylor analogy Break-up), on obtient un temps relié à la viscosité,

$$\tau_c = 1 / \frac{10\mu_p}{\rho_p r^2}$$

Par un raisonnement analogue à celui sur les transferts thermiques, on obtient

$$\beta = \exp\left(-\frac{\Delta T_{coll}}{\tau_c}\right)$$

Dans les applications rencontrées β est très proche de 1.



Noyau inélastique de collision: $Q(f, f)(t, x, u_p, e_p)$



$$Q(f, f) = \int \left(\frac{1}{\beta^4 |1 - 2a|} 'f_*' f - f_* f \right) 4\pi r_p^2 |u_p - u_{p_*}| \chi_{'e_p, 'e_{p_*} \geq 0}(e_p, e_{p_*}) \phi(a) da \psi(b) db d\sigma du_{p_*} de_{p_*}$$

✓ $'u_p = \frac{u_p + u_{p_*}}{2} + \frac{1}{\beta} \frac{|u_p - u_{p_*}|}{2} \sigma$: vitesse pré-collisionnelle

$'u_{p_*} = \frac{u_p + u_{p_*}}{2} - \frac{1}{\beta} \frac{|u_p - u_{p_*}|}{2} \sigma$: vitesse pré-collisionnelle

✓ $'e_p = \frac{2-a}{2-2a} e_p - \frac{a}{2-2a} e_{p_*} + \frac{a-2b}{2-2a} \left(\frac{1-\beta^2}{4\beta^2} \right) (u_p - u_{p_*})^2$: énergie interne pré-collisionnelle

$'e_{p_*} = -\frac{a}{2-2a} e_p + \frac{2-a}{2-2a} e_{p_*} + \frac{a-2+2b}{2-2a} \left(\frac{1-\beta^2}{4\beta^2} \right) (u_p - u_{p_*})^2$: énergie interne pré-collisionnelle

✓ $\phi(a)$ (resp. $\psi(b)$) : loi de probabilité de a (resp. b).

Noyau élastique de collision: $Q(f, f)$



$$Q(f, f) = \int \left(\frac{1}{|1 - 2a|} 'f_*' f - f_* f \right) 4\pi r_p^2 |u_p - u_{p_*}| \chi_{'e_p, 'e_{p_*} \geq 0}(e_p, e_{p_*}) \phi(a) da d\sigma du_{p_*} de_{p_*}$$

✓ $'u_p = \frac{u_p + u_{p_*}}{2} + \frac{|u_p - u_{p_*}|}{2} \sigma$: vitesse pré-collisionnelle

$'u_{p_*} = \frac{u_p + u_{p_*}}{2} - \frac{|u_p - u_{p_*}|}{2} \sigma$: vitesse pré-collisionnelle

✓ $'e_p = \frac{2 - a}{2 - 2a} e_p - \frac{a}{2 - 2a} e_{p_*}$: énergie interne pré-collisionnelle

$'e_{p_*} = -\frac{a}{2 - 2a} e_p + \frac{2 - a}{2 - 2a} e_{p_*}$: énergie interne pré-collisionnelle

✓ $\phi(a)$: loi de probabilité de a .

Propriétés du noyau de collision:

La masse m_p , le moment $m_p u_p$ et l'énergie totale $\frac{1}{2} m_p u_p^2 + m_p e_p$ sont conservées pendant les collisions donc ces fonctions annulent le noyau de collision $Q(f, f,)$.

Cas inélastique

Pour la fonction $\phi : u_p \mapsto u_p^2$ convexe on a:

$$\int Q(f, f) \phi(u_p) du_p de_p \leq 0$$

Cas élastique

Dans ce cas l' **énergie** interne et l' **énergie cinétique** sont conservées.

De plus pour toute fonction Ψ convexe on a:

$$\int Q(f, f) \Psi(e_p) du_p de_p \leq 0$$

Données numériques des gouttelettes d'étain



- ✓ nombre de particules: 60000
- ✓ densité: 7310 kg.m^{-3}
- ✓ rayon: 10^{-6} m
- ✓ vitesse: 200 m.s^{-1}
- ✓ énergie interne: 10^6 J.kg^{-1}
- ✓ température: $300 \text{ }^\circ\text{C}$
- ✓ chaleur spécifique: $200 \text{ J.kg}^{-1}.\text{K}^{-1}$
- ✓ viscosité dynamique: 8.10^{-3} Pa.s
- ✓ tension de surface: 0.56 N.m^{-1}
- ✓ conductivité thermique: $60 \text{ W.m}^{-1}.\text{K}^{-1}$

- ✓ Mesure de β : $\beta \sim 0.89$

- ✓ Mesure de a : $a \sim 0.71$

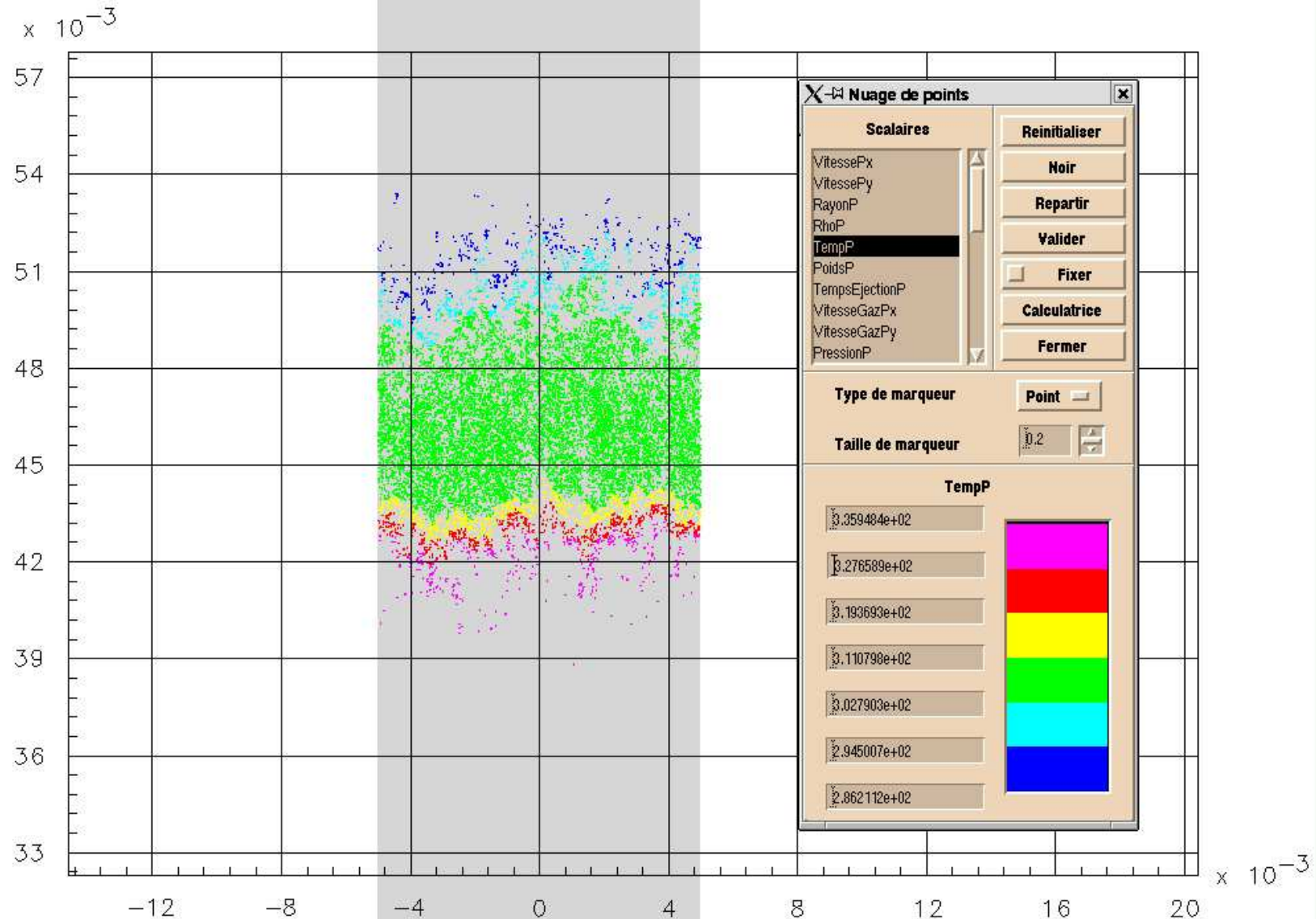
Résultats numériques: effet des échanges thermiques

Cas sans échanges thermiques durant les collisions



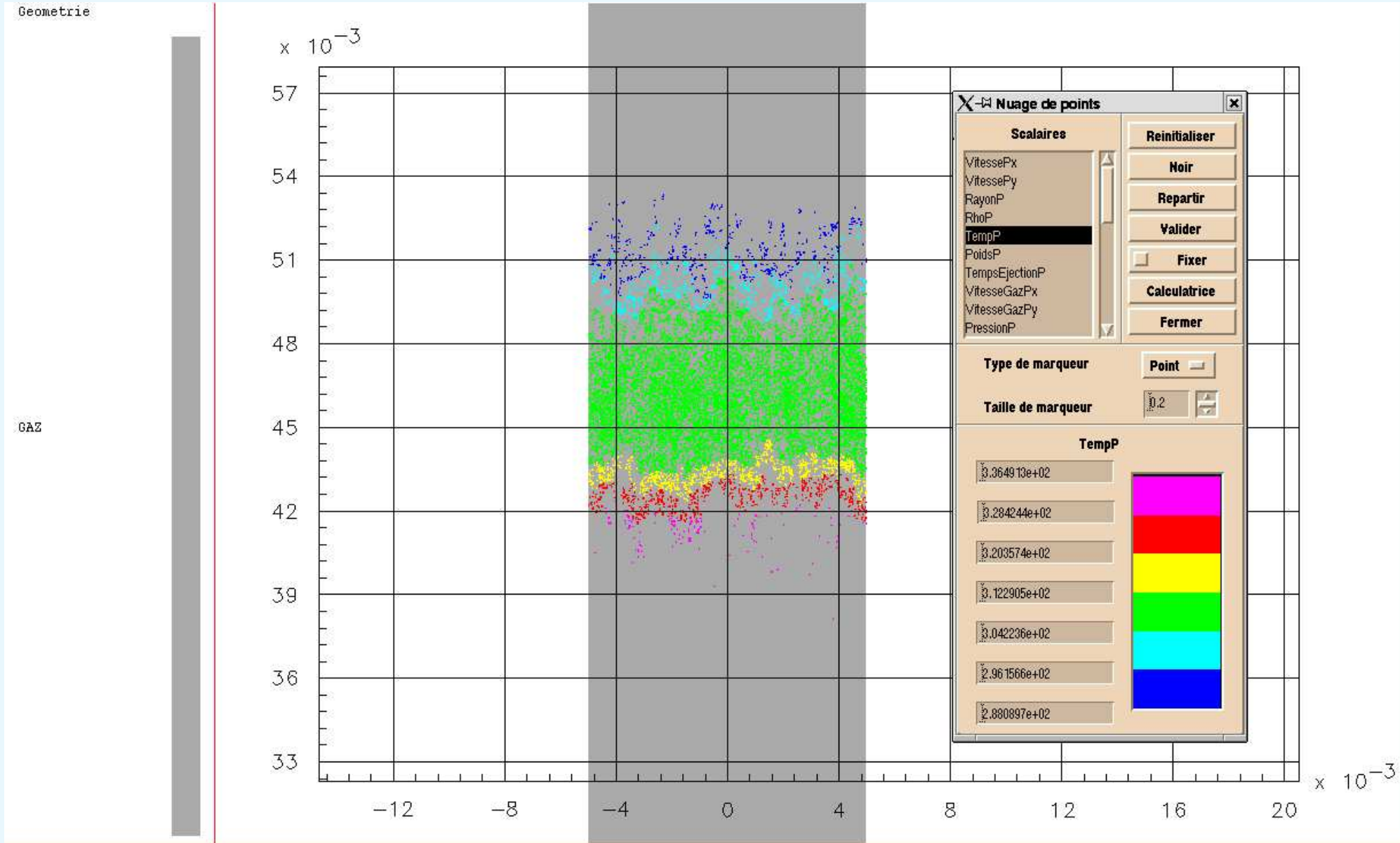
Geometrie

GAZ



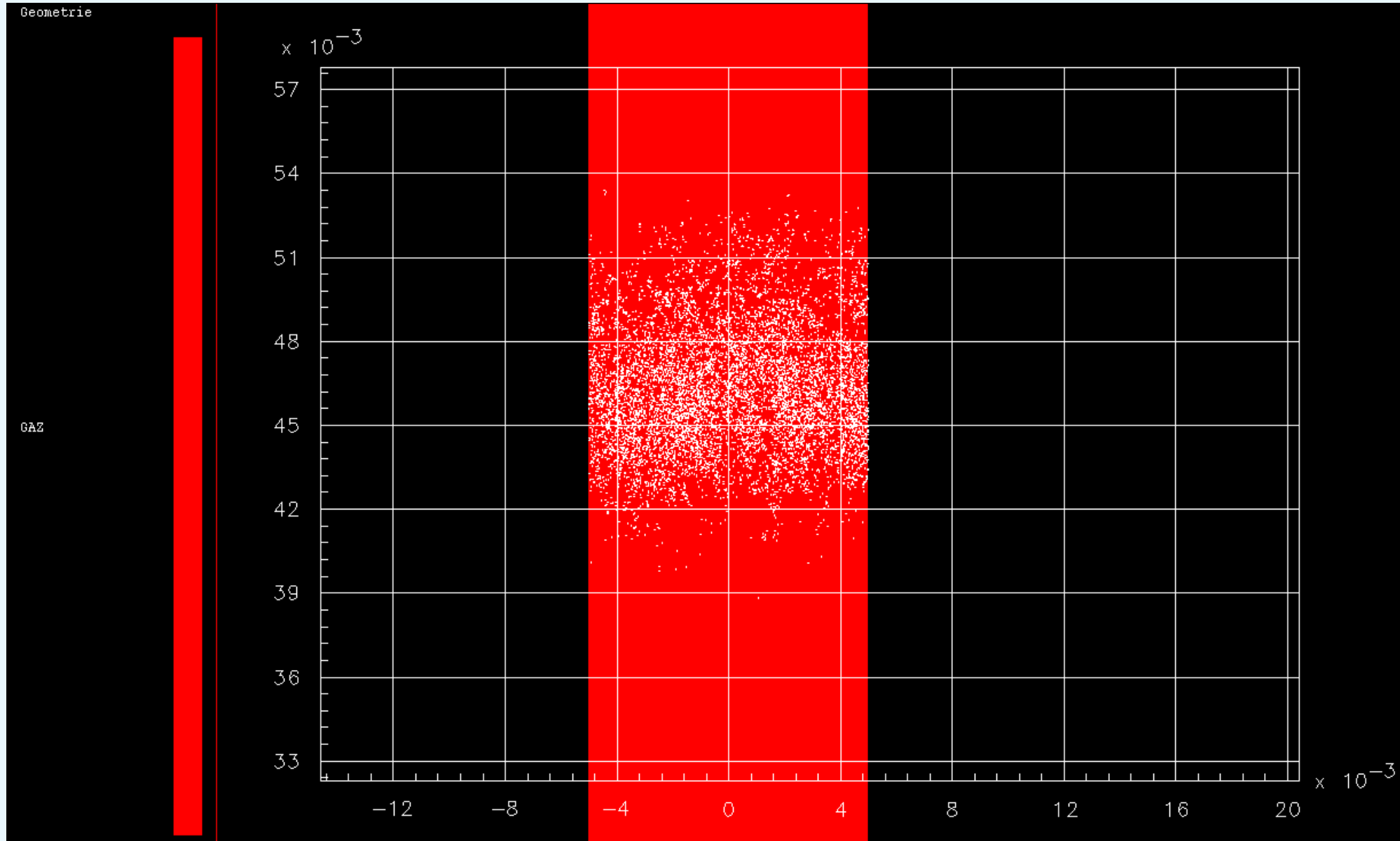
Résultats numériques: effet des échanges thermiques

Cas avec échanges thermiques durant les collisions



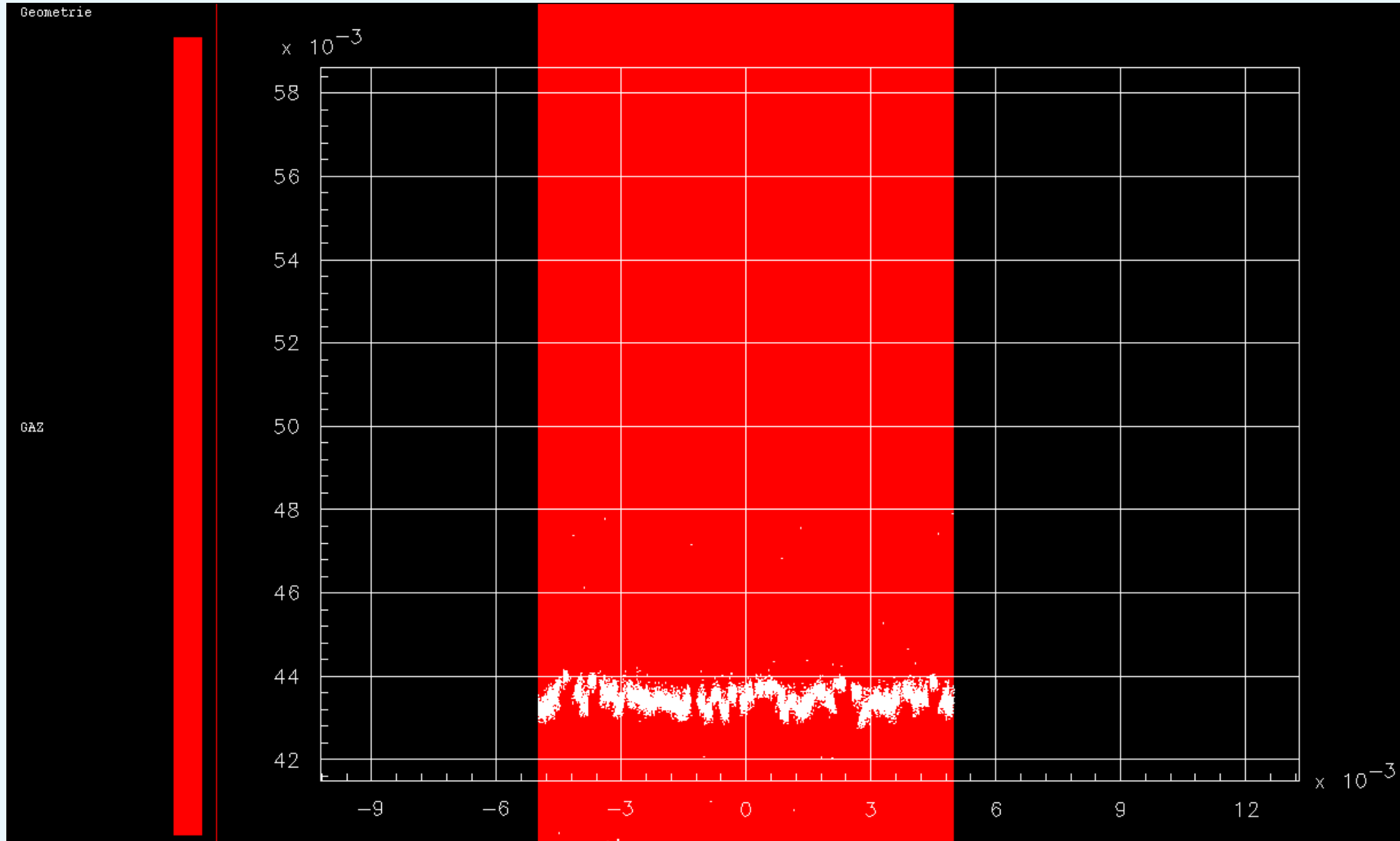
Résultats numériques: effet de l'inélasticité

Collisions élastiques



Résultats numériques: effet de l'inélasticité

Collisions inélastiques





III Limite Hydrodynamique

Fluide de particules: moments de la fonction de distribution



$$\checkmark \quad \rho = \frac{1}{1 - \alpha} \int_{u_p, e_p} f m_p du_p de_p : \text{densité du fluide de particules}$$

$$\checkmark \quad v = \frac{1}{(1 - \alpha)\rho} \int_{u_p, e_p} f m_p u_p du_p de_p : \text{vitesse moyenne du fluide}$$

$$\checkmark \quad e_c = \frac{1}{(1 - \alpha)\rho} \int_{u_p, e_p} \frac{1}{2} f m_p u_p^2 du_p de_p : \text{énergie cinétique microscopique}$$

$$\checkmark \quad e = \frac{1}{(1 - \alpha)\rho} \int_{u_p, e_p} f m_p e_p du_p de_p : \text{énergie interne microscopique}$$

$$\checkmark \quad E_p = e + e_c : \text{énergie totale du fluide}$$

$$\checkmark \quad p' = \frac{1}{1 - \alpha} \int_{u_p, e_p} f m_p (v - u_p) \otimes (v - u_p) du_p de_p : \text{tenseur de Reynolds}$$

$$\checkmark \quad q = \frac{1}{1 - \alpha} \int_{u_p, e_p} f m_p (v - u_p)^2 (u_p - v) du_p de_p : \text{flux thermique}$$

Systeme diphasique (non clos)

Conservation de la masse:

$$\partial_t(\alpha\rho_g) + \nabla_x \cdot (\alpha\rho_g u_g) = 0$$

$$\partial_t((1 - \alpha)\rho) + \nabla_x \cdot ((1 - \alpha)\rho v) = 0$$

$$\rho = \rho_p = cte \text{ (particules incompressibles)}$$

Conservation du moment:

$$\partial_t(\alpha\rho_g u_g) + \nabla_x \cdot (\alpha\rho_g u_g \otimes u_g) + \alpha\nabla_x p =$$

$$- \int_{u_p, e_p} D_p(u_g - u_p) f du_p de_p$$

$$\partial_t((1 - \alpha)\rho v) + \nabla_x \cdot ((1 - \alpha)\rho v \otimes v) + (1 - \alpha)\nabla_x p + \nabla_x \cdot ((1 - \alpha)p') =$$

$$- \int_{u_p, e_p} D_p(u_p - u_g) f du_p de_p$$



Conservation de l'énergie totale:

$$\partial_t(\alpha\rho_g E_g) + \nabla_x \cdot \left(\alpha\rho_g \left(E_g + \frac{p}{\rho_g} \right) u_g \right) + p\partial_t\alpha =$$
$$\int_{u_p, e_p} D_p(u_p - u_g) \cdot u_p f du_p de_p - \int_{u_p, e_p} 4\pi r_p \lambda N u(T_g - T_p) f du_p de_p$$

$$\partial_t((1-\alpha)\rho E_p) + \nabla_x \cdot \left((1-\alpha)\rho \left(E_p + \frac{p+p'}{\rho} \right) v \right) + p\partial_t(1-\alpha) + \nabla_x \cdot ((1-\alpha)q) =$$
$$- \int_{u_p, e_p} D_p(u_p - u_g) \cdot u_p f du_p de_p + \int_{u_p, e_p} 4\pi r_p \lambda N u(T_g - T_p) f du_p de_p$$

Equations d'état:

$$p(t, x) = P_1(\rho_g(t, x), e_g(t, x)) \quad , \quad T_g(t, x) = T_1(\rho_g(t, x), e_g(t, x)) \quad , \quad T_p = T_2(e_p) \quad ,$$

p' et q ne sont toujours pas modélisés.

Analyse dimensionnelle



$$\partial_{\tilde{t}} \tilde{f} + \tilde{u}_p \cdot \nabla_{\tilde{x}} \tilde{f} + \nabla_{\tilde{u}_p} \cdot (\tilde{f} \tilde{\Gamma}) + \partial_{\tilde{\varepsilon}_p} (\tilde{f} \tilde{\phi}) = \frac{1}{\varepsilon} Q(\tilde{f}, \tilde{f})$$

avec:

- ✓ \sim signifie que la variable est adimensionnée
- ✓ T (resp. L): temps caractéristique (resp. longueur) du gaz
- ✓ N : nombre typique de particules dans un volume L^3
- ✓ σ : chemin libre moyen défini tel qu'on ait $N = \frac{L^3}{r_p^2 \sigma}$
- ✓ $\varepsilon = \frac{\sigma}{L}$: nombre de Knudsen
- ✓ Mesure du nombre de Knudsen : $Kn = 0.083$

Limite hydrodynamique inélastique

On suppose que le nombre de collisions inélastiques tend vers l'infini (quand ε tend vers zéro); alors on s'attend à ce que la distribution tende vers un Dirac en vitesse et en énergie interne.

$$f_\varepsilon(t, x, u_p, e_p) \xrightarrow{\varepsilon \rightarrow 0} Z(t, x) \delta_{e_p=e}(e_p) \otimes \delta_{u_p=v}(u_p)$$

Conservation de la masse:

$$\partial_t(\alpha \rho_g) + \nabla_x \cdot (\alpha \rho_g u_g) = 0$$

$$\partial_t((1 - \alpha)\rho) + \nabla_x \cdot ((1 - \alpha)\rho v) = 0$$

$$\rho = \rho_p = cte$$

Conservation du moment:

$$\partial_t(\alpha \rho_g u_g) + \nabla_x \cdot (\alpha \rho_g u_g \otimes u_g) + \alpha \nabla_x p = -\frac{1}{2m_p} (1 - \alpha) \rho D_p (u_g - v)$$

$$\partial_t((1 - \alpha)\rho v) + \nabla_x \cdot ((1 - \alpha)\rho v \otimes v) + (1 - \alpha) \nabla_x p = \frac{1}{2m_p} (1 - \alpha) \rho D_p (u_g - v)$$



Conservation de l'énergie totale:

$$\partial_t(\alpha\rho_g E_g) + \nabla_x \cdot \left(\alpha\rho_g \left(E_g + \frac{p}{\rho_g} \right) u_g \right) + p\partial_t\alpha =$$
$$\frac{1}{2m_p}(1-\alpha)\rho D_p (u_g - v) \cdot v - 4\pi r_p \lambda Nu (T_g - T_p) \frac{(1-\alpha)\rho}{m_p}$$

$$\partial_t((1-\alpha)\rho E_p) + \nabla_x \cdot \left((1-\alpha)\rho \left(E_p + \frac{p}{\rho} \right) v \right) + p\partial_t(1-\alpha) =$$
$$- \frac{1}{2m_p}(1-\alpha)\rho D_p (u_g - v) \cdot v + 4\pi r_p \lambda Nu (T_g - T_p) \frac{(1-\alpha)\rho}{m_p}$$

Equations d'état:

$$p(t, x) = P_1(\rho_g, e_g) \quad , \quad T_g(t, x) = T_1(\rho_g, e_g) \quad , \quad T_p = T_p(e)$$
$$(p' = 0, \quad q = 0)$$

Limite hydrodynamique élastique

On suppose que le nombre de collisions élastiques tend vers l'infini (quand ε tend vers zéro); alors on s'attend à ce que la distribution tende vers une Maxwellienne en vitesse et un Dirac en énergie interne.

$$f(t, x, e_p, u_p) = \frac{Z(t, x)}{\left(\frac{(2\pi RT(t, x))}{m_p}\right)^{\frac{3}{2}}} \exp\left(-\frac{m_p(u_p - v(t, x))^2}{2RT(t, x)}\right) \otimes \delta_{e_p=e}(e_p)$$

Conservation de la masse:

$$\partial_t(\alpha\rho_g) + \nabla_x \cdot (\alpha\rho_g u_g) = 0$$

$$\partial_t((1 - \alpha)\rho) + \nabla_x \cdot ((1 - \alpha)\rho v) = 0$$

$$\rho = \rho_p = cte$$

Conservation du moment:

$$\partial_t(\alpha\rho_g u_g) + \nabla_x \cdot (\alpha\rho_g u_g \otimes u_g) + \alpha\nabla_x p = \mathcal{M}(\rho, v, T)$$

$$\partial_t((1 - \alpha)\rho v) + \nabla_x \cdot ((1 - \alpha)\rho v \otimes v) + (1 - \alpha)\nabla_x p + \nabla_x ((1 - \alpha)p') = -\mathcal{M}(\rho, v, T)$$



Equations d'énergie:

$$\partial_t(\alpha\rho_g E_g) + \nabla_x \cdot \left(\alpha\rho_g \left(E_g + \frac{p}{\rho_g} \right) u_g \right) + p\partial_t\alpha =$$
$$\mathcal{I}(\rho, v, T) - \iint_{u_p, e_p} 4\pi r \lambda N u(T_g - T_p) \frac{(1 - \alpha)\rho}{m_p}$$

$$\partial_t((1 - \alpha)\rho e_c) + \nabla_x \cdot ((1 - \alpha)(\rho e_c + p')v) + (1 - \alpha)v \cdot \nabla_x p = -\mathcal{I}(\rho, v, T)$$

$$\partial_t((1 - \alpha)\rho e) + \nabla_x \cdot ((1 - \alpha)\rho e v) + p(\partial_t(1 - \alpha) + \nabla_x \cdot ((1 - \alpha)v)) =$$
$$4\pi r \lambda N u(T_g - T_p) \frac{(1 - \alpha)\rho}{m_p}$$

Equations d'état

$$p(t, x) = P_1(\rho_g, e_g), \quad T_g(t, x) = T_1(\rho_g, e_g), \quad T_p = T_p(e)$$

$$(q = 0, p' = \frac{2}{3}\rho(e_c - \frac{1}{2}v^2) \text{ pour des collisions élastiques})$$

Perspectives



- ✓ intérêt:
 - ★ évaluation de la validité des modèles Euler/Euler et Lagrange/Euler

 - ★ introduction de l'inélasticité et des échanges thermiques durant les collisions dans le code Hésione

- ✓ simulations en cours au CEA

- ✓ ajout de la turbulence sur le mouvement des particules via l'utilisation du modèle $k - \varepsilon$

Bibliographie

Modélisation des sprays

- ✓ Céline Baranger. *Modeling of oscillations, breakup and collisions for droplets: the establishment of kernels for the t.a.b. model.* 2003.
- ✓ P. Villedieu and O. Simonin. *Modeling of coalescence in turbulent gas-droplet flows.* 2004.
- ✓ Laurent Boudin, Laurent Desvillettes, and Renaud Motte. *A modeling of compressible droplets in a fluid.* Preprint CMLA, 2000.
- ✓ Philippe Laurençot and Stéphane Mischler. *Convergence to equilibrium for the continuous coagulation-fragmentation equation.* 2002.

Résultats théoriques

- ✓ Komla Domelevo. *Analyse mathématique et numérique d'une modélisation cinétique d'un brouillard de gouttelettes dans un écoulement gazeux turbulent.* Soc. Edinburgh Sect., 2001.
- ✓ T. Goudon *Asym ptotic problems for a kinetic model of two-phase-flows.* C.R. Acad. Sci. Paris t.324, 2001.
- ✓ Komla Domelevo and J.-M Roquejoffre. *Existence et stabilité d'ondes planes solutions d'un modèle cinétique d'écoulements diphasiques.* C.R. Acad. Sci. Paris t.324, 1997.
- ✓ Céline Baranger. *Modélisation, étude mathématique et simulation des collisions dans les fluides complexes.* PhD thesis, E.N.S. Cachan, 2004.

Annexe: Calcul de la force de traînée dans le cas élastique

En indexant par i les différentes composantes de la force de traînée et en notant

$$w_i = \sqrt{\frac{RT}{m_p}} (v - u_g)_i \text{ on obtient après calculs,}$$

✓ $\mathcal{M}(\rho, v, T) = \iint_{u_p, e_p} D_p(u_p - u_g) f du_p de_p$ vecteur de transfert de quantité de mouvement dont la i - ème composante est:

$$\iint_{u_p, e_p} D_p(u_p - u_g)_i f du_p de_p = C_d \pi \frac{\rho_g}{\rho_p} \frac{1}{r} \times$$

$$((1 - \alpha)p') \left[w_i \sum_{j=1}^3 \left(2 \exp(-w_j^2) + \sqrt{(2\pi)} w_j \operatorname{erf} \left(\frac{\sqrt{2}}{2} w_j \right) \right) + \sqrt{(2\pi)} \operatorname{erf} \left(\frac{\sqrt{2}}{2} w_i \right) \right]$$



✓ $\mathcal{I}(\rho, v, T) = \iint_{u_p, e_p} D_p(u_p - u_g) \cdot u_p f du_p de_p$: transfert d'énergie via la force

de traînée :

$$\begin{aligned} \mathcal{I} = \iint_{u_p, e_p} D_p(u_p - u_g)_i (u_p)_i f du_p de_p &= \sum_{1 \leq i, j \leq 3} C_d \pi \frac{\rho_g}{\rho_p} \frac{1}{r} \left(\sqrt{\frac{RT}{m_p}} \right)^{\frac{3}{2}} \times \\ &\left[\delta_{ij} \left[2\pi \left(\sqrt{2\pi} \sqrt{\frac{m_p}{RT}} v_i \operatorname{erf} \left(\frac{\sqrt{2}}{2} w_2 \right) + \sqrt{2\pi} \sqrt{\frac{m_p}{RT}} v_i w_2^2 \operatorname{erf} \left(\frac{\sqrt{2}}{2} w_i \right) \right. \right. \right. \\ &+ \left. \left. \left. \sqrt{2\pi} 2w_i \operatorname{erf} \left(\frac{\sqrt{2}}{2} w_i \right) + 4 \exp \left(-\frac{1}{2} w_i^2 \right) + 2w_i \sqrt{\frac{m_p}{RT}} v_i \exp \left(-\frac{1}{2} w_i^2 \right) \right) \right] \\ &+ (1 - \delta_{ij}) \times \left[2\pi \left(\sqrt{2\pi} \sqrt{\frac{m_p}{RT}} v_j w_i w_j \operatorname{erf} \left(\frac{\sqrt{2}}{2} w_i \right) + \sqrt{2\pi} w_i \operatorname{erf} \left(\frac{\sqrt{2}}{2} w_i \right) \right. \right. \\ &+ \left. \left. \left. 2 \exp \left(-\frac{1}{2} w_i^2 \right) + 2w_j \sqrt{\frac{m_p}{RT}} v_j \exp \left(-\frac{1}{2} w_i^2 \right) \right) \right] \right] \end{aligned}$$

avec δ_{ij} : symbole de Kronecker

Annexe: données physiques de l'air



Propriétés physiques de l'air:

- ✓ densité: $0,616 \text{ kg.m}^{-3}$
- ✓ longueur caractéristique: 5.10^{-3} m
- ✓ temps caractéristique: 25.10^{-6} s
- ✓ vitesse: 200 m.s^{-1}
- ✓ pression: 10^5 Pa
- ✓ température: $300 \text{ }^\circ \text{K}$
- ✓ énergie interne: 10^4 J.kg^{-1}
- ✓ chaleur spécifique: $1000 \text{ J.kg}^{-1} . \text{K}^{-1}$
- ✓ viscosité dynamique: 25.10^{-6} Pa.s
- ✓ conductivité thermique: $45.10^{-3} \text{ W.m}^{-1} . \text{K}^{-1}$